теория ползучести

Н. Х. Арутюнян, М. М. Манукян

Ползучесть составных цилиндрических труб

В настоящей работе рассматривается задача о равновесии составной цилиндрической трубы, находящейся под воздействием внутреннего и внешнего равномерного давления с учетом ползучести и изменения модуля мгновенной деформации материала. Такие трубы (как железобетонные, составные металлические или деревянные и др.) часто применяются как важные конструктивные элементы в технике. Решение будем проводить в рамках плоской задачи на примере двухслойной цилиндрической трубы, рассматривая ее как тело, состоящее из двух отдельных полых цилиндров с различными материалами, при условии полного слипа их соприкасающихся новерхностей.

Общее решение этой задачи в линейной постановке было дано в работе [1].

Ниже мы приводим решение рассматриваемой задачи, основываясь на нелинейной теории ползучести, развитой в вышеуказанной работе [1].

М. И. Розовским [2] дано решение задачи о равновесии однородной цилиндрической оболочки, находящейся под воздействием внешнего давления с учетом только ползучести материала. При этом решение задачи получено способом последовательных приближений. Этот же метод применяется и в настоящей работе.

§ I. Постановка задачи-

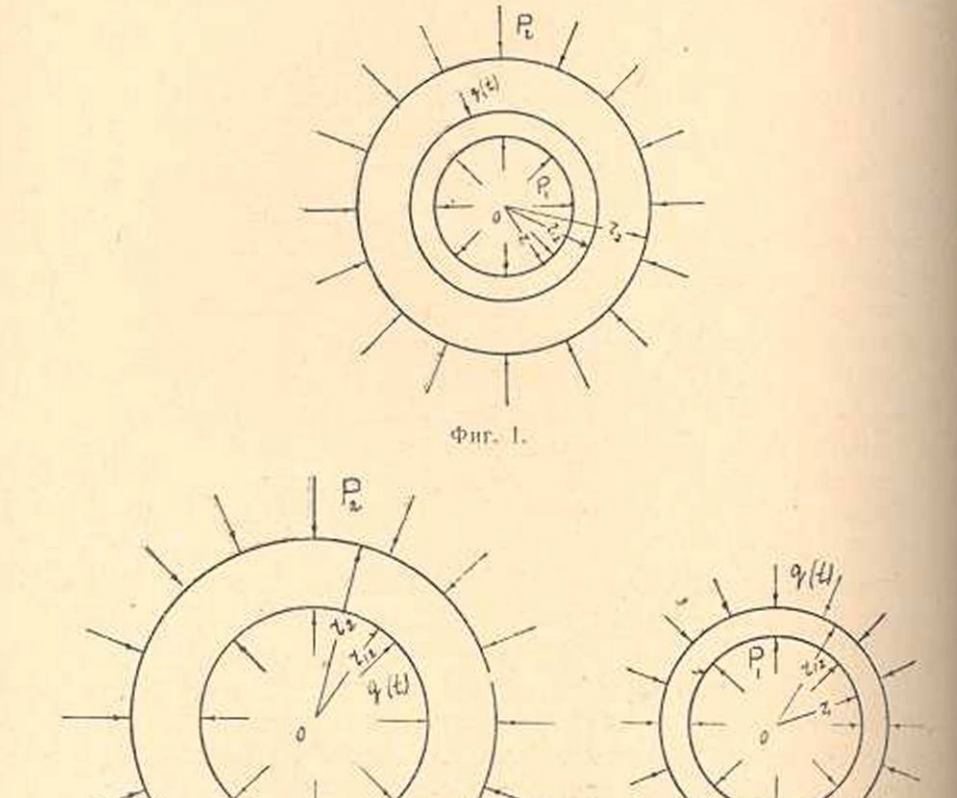
Рассмотрим круглую цилиндрическую трубу, состоящую из двух отдельных полых цилиндров с различными материалами, спаянных по поверхности их соприкосновения. Пусть по внутренней и внешней поверхностям трубы приложены равномерные радиальные давления с интенсивностью p_1 и p_2 .

Обозначим радиусы двухслойной цилиндрической трубы через r_1 , r_{12} и r_2 , причем $r_1 < r_{12} < r_2$ (фиг. 1).

В условиях совместной работы двух цилиндрических тел между ними возникнут радиальные силы взаимодействия интенсивностью q(t), (фиг. 2). При этом, в силу симметрии, касательные напряжения будут равны нулю.

Рассмотрим равновесие каждого слоя в отдельности. На внутренний слой трубы действуют силы p, и q(t), а на внешний — q(t) и p.

Не нарушая общности, можно допустить, что ползучесть материала одного из слоев трубы, как, например, внутреннего, по сравнению с ползучестью материала другого слоя незначительна и можно ею пренебречь. Такое положение имеет место, например, в случае железобетонных труб или деревянных с металлической рубашкой и др.



Фиг. 2.

§ 2. Определение напряжений и перемещений во внутреннем слое трубы

Рассмотрим вначале равновесие внутреннего слоя трубы, принимая его как полый цилиндр, находящийся под воздействием силы P_1 с внутренней стороны и силы q(t) — с внешней стороны.

Пусть $\sigma_r^{(1)}$ и $\sigma_{\varphi}^{(1)}$ — радиальное и поперечное напряжения во внутреннем слое трубы, а $\varepsilon_r^{(1)} = \frac{du^{(1)}}{dr}$, $\varepsilon_{\psi}^{(1)} = \frac{u^{(1)}}{r}$ — соответствующие дефор-

мации, выраженные через радиальное перемещение u(1). Осевой деформацией трубы пренебрегаем.

Тогда для определения напряжений во внутреннем слое и его раднальных перемещений согласно формулам Ляме получим следующие выражения

$$s_r^{(1)} = \frac{p_1 - q(t) \delta^2}{\delta^2 - 1} - \frac{p_1 - q(t)}{\delta^2 - 1} \cdot \frac{r_{12}^2}{r^2}, \qquad (2.1)$$

$$\sigma_{\varphi}^{(1)} = \frac{p_1 - q(t) \delta^2}{\delta^2 - 1} + \frac{p_1 - q(t)}{\delta^2 - 1} \cdot \frac{r_{12}^2}{r}, \qquad (2.2)$$

$$u^{(1)} = \frac{1 - v^{(1)}}{E^{(1)}} \frac{p_1 - q(t) \delta^2}{\delta^2 - 1} r + \frac{1 + v^{(1)}}{E^{(1)}} \frac{[p_1 - q(t)] r_{12}}{\delta^2 - 1} \frac{r_{12}}{r}, \quad (2.3)$$

Здесь q(t) — пока неизвестная функция времени t,

E(1) модуль деформации материала внутреннего слоя,

коэффициент Пуассона материала внутреннего слоя,

$$\delta = \frac{r_{12}}{r_1} \geqslant 1 \ .$$

§ 3. Основные уравнения нелинейной теории ползучести

Рассмотрим вначале основные уравнения нелинейной теории ползучести, а затем перейдем к определению напряженного состояния внешнего слоя трубы.

Как известно [1, 3], основные уравнения нелинейной теории ползучести, в случае пространственного напряженного состояния, можно волучить, если принять за основу теорию малых упруго-пластических деформаций.

Зависимость между напряжениями и деформациями в теории малых упруго-пластических деформаций, когда сжимаемостью материала можно пренебречь, выражается формулами [4]:

$$\sigma_{x} - \sigma = \frac{2 \sigma_{l}}{3 \varepsilon_{l}} \quad \varepsilon_{x}, \quad \tau_{xy} = \frac{\sigma_{l}}{3 \varepsilon_{l}} \quad \gamma_{xy},$$

$$\sigma_{y} - \sigma = \frac{2 \sigma_{l}}{3 \varepsilon_{l}} \quad \varepsilon_{y}, \quad \tau_{ez} = \frac{\sigma_{l}}{3 \varepsilon_{l}} \quad \gamma_{xz},$$

$$\sigma_{r} - \sigma = \frac{2 \sigma_{l}}{3 \varepsilon_{l}} \quad \varepsilon_{z}, \quad \tau_{4z} = \frac{\sigma_{l}}{3 \varepsilon_{l}} \quad \gamma_{4z},$$

$$(3.1)$$

где $\sigma = \frac{1}{3} (\sigma_e + \sigma_y + \sigma_z)$, а σ_t , ε_t — интенсивности тензора напряжений и тензора деформации, соответственно равные

$$\sigma_{t} = \frac{\sqrt{2}}{2} \sqrt{(\sigma_{x} - \sigma_{y})^{2} + (\sigma_{y} - \sigma_{z})^{2} + (\sigma_{z} - \sigma_{x})^{2} + 6(\sigma_{xy}^{2} + \sigma_{4x}^{2} + \sigma_{xz}^{2})}, (3.2)$$

$$\varepsilon_{i} = \frac{\sqrt{2}}{3} \sqrt{(\varepsilon_{x} - \varepsilon_{y})^{2} + (\varepsilon_{y} - \varepsilon_{z})^{2} + (\varepsilon_{z} - \varepsilon_{x})^{2} + \frac{3}{2} (\gamma_{xy}^{2} + \gamma_{yz}^{2} + \gamma_{zz}^{2})}. (3.3)$$

Примем, что интенсивности тензора напряжения с и тензора деформации с при объемном напряженном состоянии связаны между собой той же зависимостью, что и напряжения и деформации в одномерной задаче, а именно [1]:

$$\varepsilon_{I}(t) = \frac{\sigma_{I}(t)}{3 G(t)} - \int_{\tau_{I}}^{t} \sigma_{I}(\tau) \frac{\partial}{\partial \tau} \left[\frac{1}{3 G(\tau)} \right] d\tau - \int_{\tau_{I}}^{t} f\left[\sigma_{I}(\tau)\right] \frac{\partial C(t, \tau)}{\partial \tau} \partial \tau, \tag{3.4}$$

где $C(t,\tau)$ — мера ползучести материала,

t — координата времени,

т₁ — время приложения нагрузки,

G(t) — мгновенный модуль сдвига материала,

 $f[\sigma_i(t)]$ — некоторая функция от $\sigma_i(t)$, характеризующая нелинейную зависимость между напряжениями и деформациями ползучести для данного материала, получаемая из опыта.

Функция $f[\sigma_i(t)]$ должна удовлетворять условию f(1) = 1. В соотношении (3.4) принято также, что материал внешнего слоя трубы несжимаем.

Предположим, что мгновенный модуль сдвига постоянен и равен G_0 , тогда соотношение (3.4) примет следующий вид:

$$\varepsilon_{i}(t) = \frac{\sigma_{i}(t)}{3 G_{0}} - \int_{\tau_{i}}^{t} f\left[\sigma_{i}(\tau) - \frac{\partial C(t, \tau)}{\partial \tau} d\tau\right]. \tag{3.5}$$

§ 4. Определение напряжений и деформаций во внешнем слое

Рассмотрим внешний слой трубы как полый цилиндр, по внутренней и внешней поверхностям которого действуют соответственно усилия q(t) и P_2 . Примем, что мгновенный модуль сдвига постоянен и равен G_0 .

Пусть $\sigma_r^{(2)}(t,r)$ и $\sigma_\varphi^{(2)}(r,t)$ — радиальное и поперечное напряжения во внешнем слое, $\varepsilon_r^{(2)}(r,t)=\frac{du^{(2)}}{dr},\ \varepsilon_\varphi^{(2)}(r,t)=\frac{u^{(2)}}{r}$ — соответствующие

деформации, выраженные через радиальное перемещение $u^{(2)}$. Осевой деформацией пренебрегаем.

Принимая, что материал внешнего слоя трубы несжимаем, получим

$$\frac{du^{(2)}}{dr} + \frac{u^{(2)}}{r} = 0. {(4.1)}$$

Из соотношения (4.1) следует

$$\varepsilon_r^{(2)}(r,t) = -\varepsilon_{\varphi}^{(2)}(r,t) = \frac{\sqrt{3}}{2} \frac{r_{12}^2}{r^2} \alpha(t),$$
 (4.2)

где α (t) —пока неизвестная функция только времени t.

Из соотношений (3.3) и (4.2) находим

$$\varepsilon_i^{(2)}(t) = \frac{r_{12}^2}{r^2} \alpha(t),$$
(4.3)

где $\varepsilon_{l}^{(2)}(t)$ — интенсивность тензора деформации материала внешнего слоя трубы.

Неизвестную функцию $\alpha(t)$ можно определить, пользуясь граничными условиями задачи:

$$\sigma_r^{(2)}(r_{12},t) = q(t), \ \sigma_r^{(2)}(r_2,t) = p_2.$$
 (4.4)

Из уравнений (3.1) получим

$$\sigma_r^{(2)}(r,t) = \sigma_{\varphi}^{(2)}(r,t) = -\frac{2}{\sqrt{3}} \sigma_i^{(2)}(t),$$
 (4.5)

тде $\sigma_l^{(2)}(t)$ — интенсивность тензора напряжений материала внешнего слоя трубы.

Внося (4.5) в уравнение равновесия

$$\frac{d \sigma_r^{(2)}}{dr} + \frac{\sigma_r^{(2)} - \sigma_{\varphi}^{(2)}}{r} = 0, \tag{4.6}$$

и интегрируя ее в пределах от r_{12} до r, получим

$$\sigma_r^{(2)}(r,t) = q(t) - \frac{2}{\sqrt{3}} \int_{r_0}^{r} \frac{\sigma_i^{(2)}(x,t)}{x} dx. \tag{4.7}$$

Подагая в (4.7) $r=r_2$ и принимая во внимание (4.4), находим

$$q(t) = P_2 + \frac{2}{\sqrt{3}} \int_{t_0}^{t_2} \frac{\sigma_i^{(2)}(x,t)}{x} dx. \tag{4.8}$$

Подставляя значение $\varepsilon_i^{(2)}(t)$ из (4.3) в (3.5), получим для $\sigma_i^{(2)}(t)$ следующее выражение:

$$\sigma_{t}^{(2)}(t) - 3G^{(2)} \int_{\tau_{t}}^{t} f\left[\tau_{t}^{(2)}(\tau)\right] \frac{\partial C(t,\tau)}{\partial \tau} d\tau = 3G^{(2)} \frac{r_{12}^{2}}{r^{2}} \alpha(t), \tag{4.9}$$

где $G^{(2)} = \text{const}$ — модуль сдвига материала внешнего слоя трубы. Таким образом, задача определения напряжений и деформаций

двухслойной цилиндрической трубы, находящейся под воздействием внутреннего и внешнего равномерных давлений, с учетом нелинейной ползучести внешнего слоя материала сводится к определению трех неизвестных функций: $\sigma_l^{(2)}(t)$, $\alpha(t)$ и q(t).

Функцию $\sigma_i^{(2)}$ можно определить, интегрируя нелинейное интегральное уравнение (4.9), а $\alpha(t)$ и q(t) — пользуясь соотношением (4.8) и условиями совместной работы двух слоев цилиндрической трубы.

Точное решение нелинейного интегрального уравнения (4.9) связано с непреодолимой трудностью, поэтому это уравнение будем решать способом последовательных приближений. Решение будем искать в форме

 $\sigma_{i,n}^{(2)}(t) = \lim_{n \to \infty} \sigma_{i,n}^{(2)}(t),$ (4.10)

где

$$\sigma_{l,\theta}^{(2)}(t) = 3G^{(2)} \frac{r_{12}^2}{r^2} \alpha(t),$$

$$\sigma_{l,1}^{(2)}(t) = 3G^{(2)} \frac{r_{12}^2}{r^2} \alpha(t) +$$
(4.11)

$$+3G^{(12)}\int_{\tau_{i}}^{t}f\left[\sigma_{i,\tau,0}^{(2)}\left(\tau\right)\right]\frac{\partial C\left(t,\tau\right)}{\partial\tau}d\tau,\tag{4.12}$$

$$\sigma_{l,n}^{(2)}(t) = 3G^{(2)} \frac{r_{12}^2}{r^2} \alpha(t) +$$

$$+ 3G^{(2)} \int_{\tau_{0}}^{t} f\left[\tau_{0}^{(2)}\right]^{2} \frac{\partial C(t,\tau)}{\partial \tau} d\tau. \tag{4.13}$$

Пользуясь классическими методами теории интегральных уравнений, можно при довольно общих ограничениях для функций $f[\sigma_t^{(2)}]$ доказать, что эти последовательные приближения равномерно сходятся к $\sigma_t^{(2)}(t)$ и что $\lim_{n\to\infty} \sigma_{t,n}^{(2)}(t) = \sigma_t^{(2)}(t)$ представляет собою решение уравнения (4.9).

Отметим, что в общем случае отыскание этим методом последовательных приближений связано с большими трудностями. Поэтому при решении практических задач можно ограничиваться двумя первыми приближениями, так как они дают достаточно хорошне результаты.

Полагаем, что $f[\sigma^{(2)}]$ является степенной функцией вида

$$f[\sigma^{(2)}] = k_1 \sigma^{(2)} + k_2 [\sigma^{(2)}]^m,$$
 (4.14)

Здесь o⁽²⁾ — напряжение материала внешнего слоя трубы,

 $k_1,\,k_2,\,m$ — некоторые постоянные параметры, определяемые из опыта, при этом

$$f(1) = k_1 + k_2 = 1.$$

Такой вид функции $f[\sigma^{(2)}]$ характерен тем, что он обладает достаточной общностью и хорошо описывает экспериментальные кривые ползучести при высоких напряжениях $\left(\sigma^{(2)} > \frac{R}{2}\right)$ для ряда материалов, как, например, бетон [5] и др.

Заметим, что если в зависимости (4.14) параметр k_2 мал, то функция $f[\sigma^{(2)}]$ будет характеризовать кривые ползучести материала, обладающего слабой нелинейностью.

В рассмотренном случае имеем

$$\sigma_{1} = \sigma^{(2)}, \quad \sigma_{2} = \sigma_{3} = 0,$$

$$\varepsilon_{1} = \varepsilon^{(2)}, \quad \varepsilon_{2} = -\frac{1}{2} \varepsilon^{(2)}, \quad \varepsilon_{3} = -\frac{1}{2} \varepsilon^{(2)}$$
(4.15)

где $\epsilon^{(2)}$ — линейная деформация материала внешнего слоя трубы.

Пользуясь соотношениями (4.15) и (3.2) выражения (4.14) мож-

$$f[\sigma_i^{(2)}] = k_1 \sigma_i^{(2)} + k_2 [\sigma_i^{(2)}]^m.$$
 (4.16)

Тогда первое приближение уравнения (4.9) примет вид

$$\sigma_{i,1}^{(2)}(t) = 3G^{(2)} \frac{r_{12}^2}{r^2} \alpha(t) +$$

$$+ 3G^{(2)} \int_{\tau}^{t} \left\{ 3G^{(2)} k_{1} \frac{r_{12}^{2}}{r^{2}} \alpha(\tau) + k_{1} \left[3G^{(2)} \frac{r_{12}^{2}}{r^{2}} \alpha(\tau) \right]^{m} \right\} \frac{\partial C(t,\tau)}{\partial \tau} d\tau. \quad (4.17)$$

Из (4.8) и (4.10) следует

$$q(t) = P_{1} + \frac{2}{\sqrt{3}} \int_{t_{0}}^{t} \lim_{n \to \infty} \sigma_{L_{n}n}^{(2)}(x, t) \frac{dx}{x}.$$
 (4.18)

Подставляя (4.17) в (4.18) и принимая n=1, получим для определения α (t) следующее интегральное уравнение

$$\alpha(t) = a_1 \left[q(t) - P_2 \right] - \int_{\tau_1}^{\ell} \left\{ 3G^{(2)} k_1 \alpha(\tau) + b_1 \left[\alpha(\tau) \right]^m \right\} \frac{\partial C(t, \tau)}{\partial \tau} d\tau, \tag{4.19}$$

где

$$a_{1} = \frac{\sqrt{3}}{3G^{(2)}} \frac{\beta^{2}}{\beta^{2} - 1},$$

$$b_{1} = \frac{[3G^{(2)}]^{m}}{m} \frac{\beta^{2}}{\beta^{2} - 1} \frac{\beta^{2m} - 1}{\beta^{2m}} k_{2},$$

$$\beta = \frac{r_{2}}{r_{12}},$$
(4.20)

Из уравнения (4.19) нужно исключить неизвестную функцию q(t). Для этого достаточно воспользоваться условиями совместной работы двух слоев трубы.

Условия совместности радиальных перемещений в соприкасающихся поверхностях двух слоев цилиндрической трубы будут

$$u^{(2)}|_{r=r_{tr}} = u^{(1)}|_{r=r_{tr}}$$
 (4.21)

В силу соотношений (2.3) и (4.2) из (4.21) получим

$$q(t) = a_2 + b_2 \alpha(t),$$
 (4.22)

гле

$$a_{2} = \frac{2P_{1}}{[1-v^{(1)}]} \delta^{2} + 1 + v^{(1)},$$

$$b_{2} = \frac{\sqrt{3}}{2} E^{(1)} \frac{\delta^{2} - 1}{[1-v^{(1)}]} \delta^{2} + 1 + v^{(1)},$$

$$\delta = \frac{r_{18}}{r_{1}}.$$

$$(4.23)$$

Подставляя значение q(t) из (4.22) в (4.19), находим $\alpha(t) = A$

$$-B\int_{-}^{t}\left\{3G^{(2)}\ k_{1}\alpha\left(\tau\right)+b_{1}\left[\alpha\left(\tau\right)\right]^{m}\ \right\}\frac{\partial C\left(t,\tau\right)}{\partial\tau}\ d\tau.\tag{4.24}$$

Здесь

$$A = \frac{a_1(a_2 - P_2)}{1 - a_1b_2},$$

$$B = \frac{1}{1 - a_1b_2}.$$
(4.25)

Уравнение (4.24) опять будем решать способом последовательных приближений. Решение будет

$$\alpha(t) = \lim_{n \to \infty} \alpha_n(t), \qquad (4.26)$$

где

$$a_0 = A,$$
 (4.27)

$$\alpha_{1}(t) = A - B \int_{\tau_{1}}^{t} \left[3G^{(2)} k_{1} \alpha_{0} + b_{1} \left[\alpha_{0} \right]^{m} \right] \frac{\partial C(t, \tau)}{\partial \tau} d\tau, \tag{4.28}$$

$$a_n(t) = A -$$

$$-B\int_{z}^{t} \left\{ 3G^{(2)}k_{1}\alpha_{n-1}(z) + b_{1}\left[\alpha_{n-1}(z)\right]^{m} \right\} \frac{\partial C(t,z)}{\partial z} dt. \tag{4.29}$$

Здесь можно построить формулу, дающую приближенное значение для $\alpha(t)$, непосредственно через меру ползучести $C(t,\tau)$ при любом n.

Однако, при определении $\alpha(t)$,мы также ограничимся первым приближением, так как для $\sigma_i^{(2)}(t)$ было взято только первое приближение.

Первому приближению уравнения (4.24) можно придать следующий вид

$$\alpha_1(t) = A \{ 1 + B [3G^{(2)}k_1 + b_1A^{m-1}] C(t, \tau_1) \}.$$
 (4.30)

Подставляя значение $\alpha_1(t)$ из (4.30) в (4.17), получим

$$\sigma_{i,1}^{(2)}(t) = 3G^2 \frac{r_{12}^2}{r^2} \psi_1(t) +$$

$$+ \sqrt{3} \frac{r_{12}^2}{r^2} \psi_2(t) + \sqrt{3} m \left(\frac{r_{12}}{r}\right)^{2m} \psi_3(t), \tag{4.31}$$

где

$$\psi_{1}(t) = A \left\{ 1 + B \left[3G^{(2)} k_{1} + b_{1}A^{m-1} \right] C(t, \tau_{1}) \right\},$$

$$\psi_{2}(t) = \frac{k_{1}}{V 3} \left[3G^{(2)} \right] \int_{\tau_{1}}^{t} \psi_{1}(\tau)^{s} \frac{\partial C(t, \tau)}{\partial \tau} d\tau,$$

$$\psi_{3}(t) = \frac{k_{2}}{V 3 m} \left[3G^{(2)} \right]^{m+1} \int_{\tau_{1}}^{t} \left[\psi_{1}(\tau) \right]^{m} \frac{\partial C(t, \tau)}{\partial \tau} d\tau.$$
(4.32)

Подставляя (4.31) в формулу (4.7) и пользуясь соотношениями (4.22) и (4.30), получим следующее выражение для радиального напряжения $\sigma_r^{(2)}$ во внешнем слое трубы:

$$\sigma_r^{(2)}(r, t) = a_2 + \left[b_2 - \frac{3G^{(2)}}{\sqrt{3}} \left(1 - \frac{r_{12}^2}{r^2} \right) \right] \psi(t) - \left[1 - \left(\frac{r_{12}^2}{r^2} \right) \psi_3(t) - \left[1 - \left(\frac{r_{12}}{r} \right)^{2m} \right] \psi_3(t).$$
(4.33)

Пользуясь формулами (4.5), (4.31) и (4.33), для поперечного напряжения $\sigma_{\mathfrak{p}}^{(2)}$ во внешнем слое трубы находим

$$\sigma_{\psi}^{(2)}(r,t) = a_2 + \left[b_2 - \frac{3G^{(2)}}{V \cdot 3} \left(1 - 3\frac{r_{12}^2}{r_2}\right)\right] \psi_1(t) - \left(1 - 3\frac{r_{12}^2}{r^2}\right) \psi_2(t) - \left[1 - (1 + 2m)\left(\frac{r_{12}}{r}\right)^{2m}\right] \psi_3(t).$$
(4.34)

Исходя из (4,2) и учитывая (4.30) получим для деформации внешнего слоя трубы следующие выражения:

$$\varepsilon_r^{(2)}(r, t) = -\varepsilon_r^{(2)}(r, t) = \frac{\sqrt{3}}{2} \frac{r_{12}^2}{r^2} \phi_1(t).$$
 (4.35)

⁴ Известия АН, серия физ.-мат. наук, № 6

Из (4.33) и (4.34) следует, что значения напряжений $\sigma_r^{(2)}(r,t)$ и $\sigma_{\varphi}^{(2)}(r,t)$ в первом приближении характеризуются тремя временными параметрами, которые определяются с помощью заданной меры ползучести материала внешнего слоя трубы $C(t,\tau)$. А из (4.35) следует, что изменения деформаций $\varepsilon_r^{(2)}(r,t)$ и $\varepsilon_{\varphi}^{(2)}(r,t)$ во времени характеризуются лишь одним временным параметром.

Подставляя значение q(t) из (4.22) в соотношения (2.1), (2.2) и (2.3), найдем следующие выражения для напряжений и радиальных перемещений в материале внешнего слоя трубы

$$\begin{split} \sigma_{r}^{(1)}\left(r,t\right) &= \frac{1}{\delta^{2}-1}\left[\left(1-\frac{r_{12}^{2}}{r^{2}}\right)\!P_{1}-\left(\delta^{2}-\frac{r_{12}^{2}}{r^{2}}\right)\left(a_{2}+b_{2}\psi_{1}\left(t\right)\right)\right],\\ \sigma_{\varphi}^{(1)}(r,t) &= \frac{1}{\delta^{2}-1}\left[\left(1+\frac{r_{12}^{2}}{r^{2}}\right)\!P_{1}-\left(\delta^{2}+\frac{r_{12}^{2}}{r^{2}}\right)\!\left(a_{2}+b_{2}\psi_{1}\left(t\right)\right)\right],\\ u^{(1)}\left(r,t\right) &= \frac{r}{\delta^{2}-1}\left[\frac{1-v^{(1)}}{E^{(1)}}+\frac{1+v^{(1)}}{E^{(1)}}\left(\frac{r_{12}^{2}}{r^{2}}\right)\right]\left[P_{1}-a_{2}-b_{2}\psi_{1}\left(t\right)\right]. \end{split} \end{split} \tag{4.36}$$

§ 5. Определение напряжений и деформаций во внешнем слое с учетом нелинейной ползучести и изменяемости мгновенного модуля сдвига материала

Рассмотрим общий случай, когда мгновенный модуль сдвига зависит от времени t, т. е.

$$G^{(2)} = G^{(2)}(t).$$
 (5.1)

Подставляя значение $\varepsilon_l^{(2)}(t)$ из (4.3) в (3.4), получим

$$\sigma_{t}^{(2)}(t) = 3G^{(2)}(t) \int_{\tau_{t}}^{t} \left\{ \sigma_{t}(\tau) \frac{\partial}{\partial \tau} \left[\frac{1}{3G^{(2)}(\tau)} \right] + f\left[\sigma_{t}^{(2)}(\tau) \right] \frac{\partial C(t,\tau)}{\partial \tau} \right\} d\tau = 3G^{(2)}(t) \frac{r_{12}^{2}}{r^{2}} \alpha(t).$$
 (5.2)

Пользуясь соотношением (4.16), можно этому уравнению придать следующий вид:

$$\begin{split} \sigma_{i}^{(2)}(t) - 3G^{(2)}(t) \int_{\tau_{i}}^{t} \left\{ \sigma_{i}^{(2)}(\tau) \frac{\partial}{\partial \tau} \left[\frac{1}{3G^{(2)}(\tau)} \right] + \right. \\ + \left[k_{1} \sigma_{i}^{(2)}(\tau) + k_{2} \left(\sigma_{i}^{(2)}(\tau) \right)^{m} \right] \frac{\partial C(t, \tau)}{\partial \tau} \right\} d\tau = \\ = 3G^{(2)}(t) \frac{r_{12}^{2}}{r^{2}} \alpha(t). \end{split} \tag{5.3}$$

Первое приближение этого уравнения будет

$$\sigma_{l,1}^{(1)}(t) = 3G^{(2)}(t) \frac{r_{12}^2}{r^2} \alpha(t) +$$

$$+3G^{(2)}(t) \int_{\tau_l}^{t} \left\{ 3G^{(2)}(\tau) \frac{r_{12}^2}{r^2} \alpha(\tau) \frac{\partial}{\partial \tau} \left[\frac{1}{3G^{(2)}(\tau)} \right] + \right.$$

$$+ \left[3G^{(2)}(\tau) k_1 \frac{r_{12}^2}{r^2} \alpha(\tau) + \right.$$

$$+ k_2 \left(3G^{(2)}(\tau) \frac{r_{12}^2}{r^2} \alpha(\tau) \right)^m \left[\frac{\partial C(t,\tau)}{\partial \tau} \right\} d\tau.$$
 (5.4)

Подставляя (5.4) в (4.18) и принимая n=1, получим для определення $\alpha(t)$ следующее интегральное уравнение

$$\begin{split} &\alpha\left(t\right) = a_{1}\left(t\right)\left[q\left(t\right) - P_{2}\right] - \\ &- \int_{\tau_{i}}^{t} \left\{3G^{(2)}\left(\tau\right)\alpha\left(\tau\right)\frac{\partial}{\partial\tau}\left[\frac{1}{3G^{(2)}\left(\tau\right)}\right] + \\ &+ 3G^{(2)}\left(\tau\right)k_{1}\alpha\left(\tau\right)\frac{\partial C\left(t,\tau\right)}{\partial\tau} + \\ &+ b_{1}\left[3G^{(2)}\left(\tau\right)\alpha\left(\tau\right)\right]^{m}\frac{\partial C\left(t,\tau\right)}{\partial\tau}\right\}d\tau, \end{split} \tag{5.5}$$

TAR

H

$$\begin{split} a_{1}\left(t\right) &= \frac{\sqrt{3}}{3G^{(2)}\left(t\right)} \cdot \frac{\beta^{2}}{\beta^{2}-1}, \\ b_{1} &= \frac{1}{m} \frac{\beta}{\beta^{2}-1} \frac{\beta^{2m}-1}{\beta^{2m}} k_{2}, \\ \beta &= \frac{r_{2}}{r_{1^{2}}}. \end{split} \tag{5.6}$$

Подставляя значение q(t) из (4.22) в (5.5), находим

$$\begin{split} \alpha\left(t\right) &= A\left(t\right) - B\left(t\right) \int\limits_{\tau_{i}}^{t} \left\{ 3G^{(2)}\left(\tau\right)\alpha\left(\tau\right) \frac{\partial}{\partial \tau} \left[\frac{1}{3G^{(2)}(\tau)} \right] + \right. \\ &\left. + 3G^{(2)}\left(\tau\right)k_{1}\alpha\left(\tau\right) \frac{\partial C\left(t,\tau\right)}{\partial \tau} + b_{1} \left[3G^{(2)}(\tau)\alpha\left(\tau\right) \right]^{m} \frac{\partial C\left(t,\tau\right)}{\partial \tau} \right\} d\tau, \end{split} \tag{5.7}$$

ERC

$$A(t) = \frac{a_1(t)(a_2 - P_2)}{1 - a_1(t)b_2},$$

$$B(t) = \frac{1}{1 - a_2(t)b_2},$$
(5.8)

где

 a_2, b_2 — определяются соотношениями (4.23).

Первому приближению уравнения (5.7) можно придать следующий вид

$$\begin{split} \alpha_{1}\left(t\right) &= A\left(t\right) - B\left(t\right) \int_{\tau_{1}}^{t} \left\{ 3G^{\left(2\right)}\left(\tau\right) A\left(\tau\right) \frac{\partial}{\partial \tau} \left[\frac{1}{3G^{\left(2\right)}\left(\tau\right)} \right] + \right. \\ &+ 3G^{\left(2\right)}\left(\tau\right) k_{1} A\left(\tau\right) \frac{\partial C\left(t,\tau\right)}{\partial \tau} + b_{1} \left[3G^{\left(2\right)}\left(\tau\right) A\left(\tau\right) \right]^{m} \frac{\partial C\left(t,\tau\right)}{\partial \tau} \right\} d\tau. \end{split} \tag{5.9}$$

Подставляя значение $\alpha_1(t)$ из (5.9) в (5.4), получим

$$\sigma_{l_{1}}^{(2)}(t) = 3G^{(2)}(t)\frac{r_{12}^{2}}{r^{2}}\chi_{1}(t) + \sqrt{3}\frac{r_{12}^{2}}{r^{2}}\chi_{2}(t) + \sqrt{3}m\left(\frac{r_{12}}{r}\right)^{2m}\chi_{3}(t), \quad (5.10)$$

 $\chi_{1}(t) = A(t) - B(t) \int_{\tau_{1}}^{t} \left\{ 3G^{(2)}(\tau) A(\tau) \frac{\partial}{\partial \tau} \left[\frac{1}{3G^{(2)}(\tau)} \right] + 3G^{(2)}(\tau) A(\tau) k_{1} \frac{\partial C(t,\tau)}{\partial \tau} + b_{1} [3G^{2}(\tau) A(\tau)]^{m} \frac{\partial C(t,\tau)}{\partial \tau} \right\} d\tau,$ $\chi_{2}(t) = \frac{G^{(2)}(t)}{V 3} \int_{\tau_{1}}^{t} \chi_{1}(\tau) \left\{ 3G^{(2)}(\tau) \frac{\partial}{\partial \tau} \left[\frac{1}{3G^{(2)}(\tau)} + k_{1}C(t,\tau) \right] \right\} d\tau.$ $\chi_{3}(t) = \frac{k_{2}G^{(2)}(t)}{V 3 m} \int_{\tau_{1}}^{t} [\chi_{1}(\tau)]^{m} [3G^{(2)}(\tau)]^{m} \frac{\partial C(t,\tau)}{\partial \tau} d\tau.$ (5.11)

Подставляя (5.10) в формулу (4.7) и пользуясь соотношениями (4.22) и (5.9) получим следующее выражение для радиального напряжения $\sigma_r^{(2)}(r,t)$ во внешнем слое трубы:

$$\sigma_r^{(2)}(r,t) = a_2 + \left[b_2 - \frac{3G^{(2)}(t)}{\sqrt{3}} \left(1 - \frac{r_{12}^2}{r^2} \right) \right] \chi_1(t) - \left(1 - \frac{r_{12}^2}{r^2} \right) \chi_2(t) - \left[1 - \left(\frac{r_{12}}{r} \right)^{2m} \right] \chi_3(t).$$
 (5.12)

Пользуясь формулами (4.5), (5.10) и (5.12), для поперечного напряжения $\sigma_{\tau}^{(2)}(r,t)$ материала во внешнем слое трубы находим

$$\sigma_{\tau}^{(2)}(r,t) = a_2 + \left[b_2 - \frac{3G^{(2)}(t)}{\sqrt{3}} \left(1 - 3\frac{r_{12}^2}{r^2}\right)\right] \chi_L(t) - \left(1 - 3\frac{r_{12}^2}{r^2}\right) \chi_2(t) - \left[1 - (1+m)\left(\frac{r_{12}}{r}\right)^{2m}\right] \chi_2(t). \tag{5.13}$$

Исходя из [4.2] и учитывая [6.9], получим для деформации внешнего слоя трубы следующие выражения

$$\varepsilon_{r}^{(2)}(r, t) = -\varepsilon_{\psi}^{(2)}(r, t) = \frac{1^{r} 3}{2} \frac{r_{12}^{2}}{r^{2}} \chi_{1}(t).$$
 (5.14)

Подставляя значение q(t) из (4.22) в соотношения (2.1), (2.2) и (2.3), надем следующие выражения для напряжений и радиальных перемещений в материале внешнего слоя трубы

$$\begin{split} \phi_{i}^{(0)}(r,t) &= \frac{1}{\delta^{2}-1} \left[\left(1 - \frac{r_{12}^{2}}{r^{2}} \right) P_{1} - \left(\delta^{2} - \frac{r_{12}^{2}}{r^{2}} \right) (a_{2} + b_{2} \lambda_{1}(t)) \right], \\ \delta_{i}^{(0)}(r,t) &= \frac{1}{\delta^{2}-1} \left[\left(1 + \frac{r_{12}^{2}}{r^{2}} \right) P_{1} - \left(\delta^{2} + \frac{r_{12}^{2}}{r^{2}} \right) (a_{2} + b_{2} \lambda_{1}(t)) \right], \\ b_{i}^{(0)}(r,t) &= \frac{r}{\delta^{2}-1} \left[\frac{1 - v^{(1)}}{E^{(1)}} + \frac{1 + v^{(1)}}{E^{(1)}} \left(\frac{r_{12}}{r} \right)^{2} \right] \left[P_{1} - a_{2} - b_{2} \chi_{1}(t) \right]. \end{split}$$

$$(5.15)$$

В частном случае, когда $G^{(2)}(t) = G^{(2)} = \text{const}$, формулы (5.10)—(5.15) лождественно совпадают с формулами (4.31)—(4.36).

§ 6. Железобетонная труба

В качестве приложения вышеизложенной теории, рассмотрим железобетонную трубу, находящуюся под воздействием внутреннего равномерного давления с учетом нелинейной ползучести бетона. Железобетонную трубу будем рассматривать состоящей из двух слоев: из арматуры и бетона. При решении этой задачи будем для общности считать эти цилиндры толстостенными, хотя обычно для облегчения расчетов арматуру считают тонкостенной.

Обозначим наружный и внутренний радиусы арматуры через а π с, бетона-b и a, причем c < a < b (фиг. 3), радиальное и попереч-

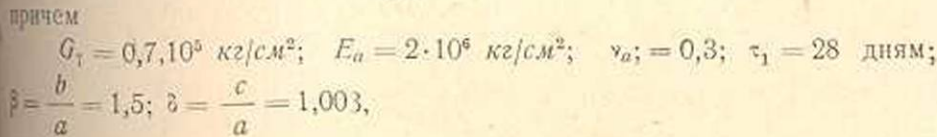
ное напряжения в арматуре — σ_{ar} и $\sigma_{a\phi}$, соответствующие деформации — sar и sav, разнал ное перемещение — ua. Аналогично, для бетона соответственно обозначим обе, Dog, Sor, Soy, H U6.

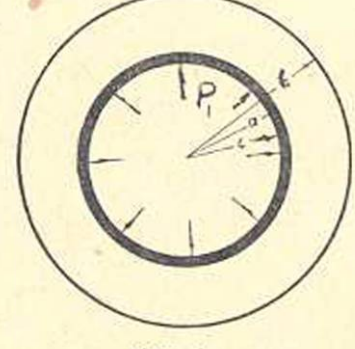
Рассмотрим следующий численный пример.

Пусть характеристики меры ползучести бетона будут [1]

$$C(t,\tau) = \left(\frac{4,82}{\tau} + \right)$$

$$+0.9$$
 $\left[1-e^{-0.026(t-1)}\right]10^{-5}\frac{c.m^2}{\kappa z}$, (6.1)





Фиг. 3.

где

 G_{0} — модуль сдвига бетона,

Ea - модуль деформации арматуры,

va — коэффициент Пуассона арматуры.

Для функции $f[z_6]$ примем следующие выражения:

$$f[\sigma_0] = 0.99 \ \sigma_0 + 0.01 \ \sigma^2,$$
 (6.2)

тде 56- напряжение бетона.

Деформации бетона в точках r=a и r=b согласно (4.35) будут выражаться следующими формулами:

$$\varepsilon_{6r}(a, t) = -\varepsilon_{6\psi}(a, t) = 1,3885 \cdot 10^{-5} P_1 [1 + (2,4!48 + 0,0594 P_1 ([1 - e^{-0.006(t - \tau_0)}])],$$
(6.3)

$$\varepsilon_{6r}(b, t) = 0.4444 \ \varepsilon_{6\varphi}(a, t),$$
 $\varepsilon_{6\varphi}(b, t) = 0.4444 \ \varepsilon_{6\varphi}(a, t).$
(6.4)

Из соотношений (6.3) получим

$$\frac{\varepsilon_{6r}(a, t)}{\varepsilon_{6r}(a, \tau_1)} = \frac{\varepsilon_{6\varphi}(a, t)}{\varepsilon_{6\varphi}(a, \tau_1)} =$$

$$= 1 + (2,4148 + 0,0594 P_1) [1 - e^{-0,026(t-\tau_0)}], \quad (6.5)$$

где $\varepsilon_{6r}(a, \tau_1)$ и $\varepsilon_{6\varphi}(a, \tau_1)$ — радиальное и поперечное деформации бетона в начальный момент времени $t = \tau_1$.

Отсюда следует, что начальные деформации в бетоне ε_6 , (α, τ_1) и ε_6 , (α, τ_1) с течением времени под влиянием ползучести возрастают, причем при $t=\infty$ получают свои предельные значения

$$\frac{\epsilon_{\delta r}(a, \infty)}{\epsilon_{\delta r}(a, \tau_1)} = \frac{\epsilon_{\delta r}(a, \infty)}{\epsilon_{\delta r}(a, \tau_1)} = 1 + (2,4148 + 0,0594 P_1). \quad (6.6)$$

Радиальное перемещение арматуры в точках r=a согласно (4.38) будет

$$u_{a}\left(a,\ t\right)=-\,aP_{1}\left[13,2233+\left(33,5796+0,8093\,P_{1}\right)\left[1-e^{-0.026\,\left(t-\tau_{0}\right)}\right].\quad\left(6.7\right)\right]$$

Отсюда найдем

$$\frac{u_a(a,t)}{u_a(a,\tau_1)} = 1 + \frac{33,5796 + 0,8093 P_1}{13,2233} \left[1 - e^{-0,026 (t - \tau_1)} \right], \tag{6.8}$$

где $u_a\left(a,\tau_i\right)$ — радиальное перемещение арматуры в начальный момент времени.

Из (6.8) следует, что начальное радиальное перемещение в арматуре u_a (a, τ_i) с течением времени возрастает.

Для радиальных напряжений бетона и арматуры при r=a получим

$$\sigma_{6r}(a, t) = q(t) = 1,0812 P_1 + (0,20 3 + 0,0049 P_1) [1 - e^{-0.026(t-\tau_0)}],$$
 (6.9)
 $\sigma_{ar}(a, t) = -q(t).$ (6.10)

Отсюда непосредственно следует

$$\frac{\sigma_{6r}(a, t)}{\sigma_{6r}(a, \tau_1)} = \frac{\sigma_{ar}(a, t)}{\sigma_{ar}(a, \tau_1)} =$$

$$= 1 + \frac{0,2013 + 0,0049 P_1}{1,0812} \left[1 - e^{-0,026(t - \tau_1)}\right],$$
(6.11)

тде $\sigma_{0r}(a, \tau_1)$ и $\sigma_{ar}(a, \tau_1)$ — радиальные напряжения бетона и арматуры в начальный момент времени $t=\tau_1$.

Отсюда следует, что начальные радиальные напряжения в бетоне $\sigma_{\delta r}(a,\tau_1)$ и в арматуре $\sigma_{ar}(a,\tau_1)$ с течением времени под влиянием ползучести возрастают, причем при $t=\infty$. получают свои предельные значения:

$$\frac{\sigma_{\delta r}(a,\infty)}{\sigma_{\delta r}(a,\tau_1)} = \frac{\sigma_{ar}(a,\infty)}{\sigma_{ar}(a,\tau_1)} = 1 + \frac{0,2013 + 0,0049 P_1}{1,0812}.$$
 (6.12)

Аналогично для поперечных напряжений арматуры и бетона при r=a получим

$$\sigma_{a\varphi}(a, t) = 332,834 - 360,958 P_{1} - \\
- (67,201 + 0,1431 P_{1}) \left[1 - e^{-0.026(t - \tau_{1})}\right] P_{1}, \qquad (6.13)$$

$$\sigma_{\delta\varphi}(a, t) = 4,9728 P_{1} + (3,8763 + 0,0953 P_{1}) \left[1 - e^{-0.026(t - \tau_{1})}\right] P_{1} + \\
+ 8,1018 \cdot 10^{5} P_{1} \int_{\tau_{1}}^{t} \left\{1 + (2,4148 + 0,0594 P_{1} \left[1 - e^{-0.026(\tau - \tau_{1})}\right]\right\} \frac{\partial C(t,\tau)}{\partial \tau} d\tau + \\
+ 0,2759 \cdot 10^{5} P_{1}^{2} \int_{\tau_{1}}^{t} \left\{1 + (2,4148 + 0,0594 P_{1} \left[1 - e^{-0.026(\tau - \tau_{1})}\right]\right\} \frac{\partial C(t,\tau)}{\partial \tau} d\tau + \\
+ 0,0594 P_{4}) \left[1 - e^{-0.026(\tau - \tau_{1})}\right]^{2} \frac{\partial C(t,\tau)}{\partial \tau} d\tau. \qquad (6.14)$$

Значения интегралов, входящих в формулу (6.14), можно определить, пользуясь численным интегрированием. Для простоты примем, что бетон старый, тогда можно написать

$$C(t,\tau) = 0.9 \left[1 - e^{-0.026(t-\tau)}\right] 10^{-5}$$
. (6.15)

Подставляя значение $C\left(t,\tau\right)$ из (6.15) в (6.14) и интегрируя, подучим

$$\begin{split} \sigma_{\delta\varphi}\left(a,t\right) &= 4,9728\,P_{1} - \left(12,4475 + 2,2629\,P_{1} + \right.\\ &\left. + 0,0748\,P_{1}^{2} + 0,0006\,P_{1}^{3}\right)\left[1 - e^{-0.026\,(t - \tau_{i})}\right]P_{1} + \\ &\left. + \left(0,3839 + 0,0585\,P_{1} + 0,0019\,P_{1}^{2} + 0,00016\,P_{1}^{3}\,(t - \tau_{1})\,\,e^{-0.026\,(t - \tau_{i})} - \right.\\ &\left. - \left(1,0193 + 0,0501\,P_{1} + 0,0006\,P_{1}^{2}\right)P_{1}^{2}\left[e^{-0.026\,(t - \tau_{i})} - e^{-0.082\,(t - \tau_{i})}\right]\right\}. \end{split}$$

Для предельного случая, когда $t=\infty$ имеем

$$\frac{\sigma_{a\varphi}(a,\infty)}{\sigma_{a\varphi}(a,\tau_1)} = 1 + \frac{67,201 + 0,1431 P_1}{360,958 P_1 - 332,834} P_1, \tag{6.17}$$

$$\frac{\sigma_{6\neq}(a,\infty)}{\sigma_{6\neq}(a,\tau_1)} = 1 - \frac{12,4475 + 2,2629 P_1 + 0,0748 P_1^2 + 0,0006 P_1^3}{4,9728}, \quad (6.18)$$

где $\sigma_{a\varphi}(a, \tau_1)$ и $\sigma_{b\varphi}(a, \tau_1)$ — поперечные напряжения арматуры и бетона в начальный момент времени $t = \tau_1$.

Отсюда следует, что начальные поперечные напряжения в арматуре $\sigma_{a\varphi}\left(a,\,\tau_{1}\right)$ с течением времени под влиянием ползучести возрастают, а в бетоне $\sigma_{b\varphi}\left(a,\,\tau_{1}\right)$ — затухают, причем эти возрастания и затухания зависят от значения внутреннего давления P_{1} .

Подставляя значения $\sigma_{ar}(a, t)$ и $\sigma_{az}(a, t)$ из (5.10) и (5.13) в (4.5), получим

$$\sigma_{a}\left(a,\ t\right)=288,241-311,663\ P_{1}-\left(58,022+0,1243\ P_{1}\right)\left[1-e^{-0.026\left(t-\tau_{1}\right)}\right].\tag{6.19}$$

Отсюда непосредственно получим

$$\frac{\sigma_a(a, \infty)}{\sigma_a(a, \tau_1)} = 1 + \frac{58,022 + 0,1243 P_1}{311,663 P_1 - 288,241}.$$
 (6.20)

Подставляя значения $\sigma_{\delta r}(a, t)$ и $\sigma_{\delta \varphi}(a, t)$ из (6.9) и (6.16) в (4.5), аналогично найдем

$$\begin{split} \sigma_{\delta}\left(a,\ t\right) &= 3,3701\ P_{1} - \left(10,954 + 1,9601\ P_{1} + \right. \\ &+ 0,0648\ P_{1}^{2} + 0,00053\ P_{1}^{3}\right)\left[1 - e^{-0,026\left(t - \tau_{1}\right)}\right]P_{1} + \\ &+ \left(0,3324 + 0,0506\ P_{1} + 0,0017\ P_{1}^{2} + \right. \\ &+ 0,00014\ P_{1}^{3}\right)P_{1}\left(t - \tau_{1}\right)e^{-0,026\left(t - \tau_{1}\right)} - \\ &- \left(0,8827 + 0,0434\ P_{1} + 0,00053\ P_{1}^{2}\right)P_{1}^{2}. \\ &\left. \cdot \left[e^{-0,026\left(t - \tau_{1}\right)} - e^{-0.052\left(t - \tau_{2}\right)}\right]. \end{split}$$
(6.21)

Отсюда

$$\frac{\sigma_6(a, \infty)}{\sigma_6(a, \tau_1)} = 1 - \frac{10,954 + 1,9601 P_1 + 0,0648 P_1^2 + 0,00053 P_1^3}{3,3701}.$$
 (5.22)

Таким образом получаем, что начальные напряжения в бетоне $\sigma_{\delta}(a, \tau_1)$ с течением времени уменьшаются, а в арматуре $\sigma_a(a, \tau_1)$ — возрастают, причем эти уменьшения и возрастания зависят от внутреннего давления P_1 .

Аналогично можно получить значения напряжений бетона в точках r=b и арматуры в точках r=c.

В заключение отметим, что этим методом можно решать ряд других задач нелинейной теории ползучести, которые явятся содержанием наших следующих сообщений.

Институт математики и механики АН Армянской ССР

Поступило 10 XI 1957

Ն. Խ. Հարությունյան, Մ. Մ. Մանուկյան

ԲԱՂԱԳՐՅԱԼ ԳԼԱՆԱՅԻՆ ԽՈՂՈՎԱԿՆԵՐԻ ՍՈՂՔԸ

UUTONONPU

Աշխատության մեջ ըննարկվում է տարրեր նյութերից կազմված գլանային խողովակի հավասարակչուռթյունը՝ նյութի սողջի և ավնթարթային դեփորմացիայի մոդուլի փոփոխության հաչվառումով, ևրը խողովակը դրանայան է հավասարաչափ բաշխված ներջին և արտաջին ճնչման աղդեցության տակ։ Այսպիսի խողովակները լայն կիրառում ունեն տեխնիկայում որպես կարևոր կոնսուրուկտիվ էլեմենաներ։ Խնդրի լուժման ժամանակ գլանային խողովակը դիտարկվում է որպէս տարրեր նյութերից կաղմված երկու դլաններ, որոնջ իրևնց մակերևուլթների համան կետերում լիովին կաչում են իրար։ Ենթաղովում է, որ խողովակի դլաններից մեկի նյութե սողջը, համամարձել։

Այս խնագրի ընդհանուր լուծումը նյունի դծային սողջի հաշվառումով արված է [1]-ում։ Այս աշխատունյան մեջ բերվում է խնդրի լուծումը նյուքի ոչ գծային սողջի հաշվասումով, ընդ սրում օգտագործվում է [1]-ի մեջ շաբաղրված ոչ դծային տողջի տեսունյունը։

Համասես գլանալին խաղանքի հավասարակչումիյան խնդրի լուծումը, նրաքի ոչ գծային սողջի հաշվասումով, հրր խաղանքը դանվում է հավասաբաչափ բաշխված արտաջին ճնշման աղդեցության տակ, արված է Մ. Ի. Ռողովսկա կողմից [2] հաջորդական ժոտավորությունների մեխողով։ Այդ նույն ժենորը կիրառվորմ է նաև մեդ մոտ՝ վերը նշված խնդիրը լուծելու համար։

Սողջի ոչ գծալին տեսության հիմնական հավասարումները, տարածական լարվածային վիճակի դեպքում, ստանալու համար օգտագործված է փոքր տոտծբական պլաստիկ դեֆորմացիաների տեսությունը։ Ընդունվում է, որ կորվածության տենդորի և դեֆորմացիայի տենդորի ինտենսիվությունների միջև, ծավալային լարվածության դեճակի դեպքում, դոյություն ունի նույն տոնչությունը, ինչ որ՝ լարվածության և դեֆորմացիայի միջև մինչափ խընպի դեպքում։

f (3) ֆունկցիան, որը ընտրոշում է սողջի դեպքում ավյալնյունի լարվամունյան և դեֆորմացիայի միջև հղած ոչ գծային առնչունյանը, վերցված է աժենաընդհանուր տեսքով

$$f(\sigma) = k_1 \sigma + k_2 \sigma^m,$$

արտանդ k_1, k_2, m — ճառատատուն պարտժետրներ են, որոնք որոշվում են փորձից և բավարարում են $k_1 + k_2 = 1$ պալժանին։

Որպես առաջադրված տեսության կիրառություն ըննարկվում է հրկաթբետոնե խողովակի հավասարակչուռթյունը, հրր խողովակը դանվում է հավասարաչափ բախչված ներքին ճնչման ազդեցության տակ բետոնի ոչ դժային սողջի հաշվառումով։ Երկաթրետոնե խողովակը դիտարկվում է կաղմված հրկա չհրահրից՝ արմատուրայից և բետոնից։

Վերջում քննարկվում է մի թվային օրինակ։

ЛИТЕРАТУРА

- 1. Арутюнян Н. Х. Некоторые вопросы теории ползучести. Гостехиздат, М., 1952.
- Розовский М. И. О нелинейных интегральных уравнениях ползучести бетонной цилиндрической оболочки, изходящейся под внешним давлением. Известия ОТН АН СССР (находится в печати) 1957.
- Работнов Ю. Н. Пекоторые вопросы теории ползучести. Вестник МГУ, № 10, 1948.
- 4. Ильюшин А. А. Пластичность. Гостехиздат, М., 1948.
- Васильев П. И. Некоторые вопросы пластических деформаций бетона. Известия ВНИИГ, том 49, 1953.